



PENELITIAN DASAR UNGGULAN PERGURUAN TINGGI (PDUPT)



Penentuan Model dan Situs Aktif Adsorpsi Ion Cd(II) pada Hibrida Amino-silika dengan Teknik Pencetakan Ion

Prof. Dr. Buhani, M.Si. NIDN 0016046905

Sumadi, S.T., M.T. NIDN 0004117302

JURUSAN KIMIA FMIPA UNIVERSITAS LAMPUNG

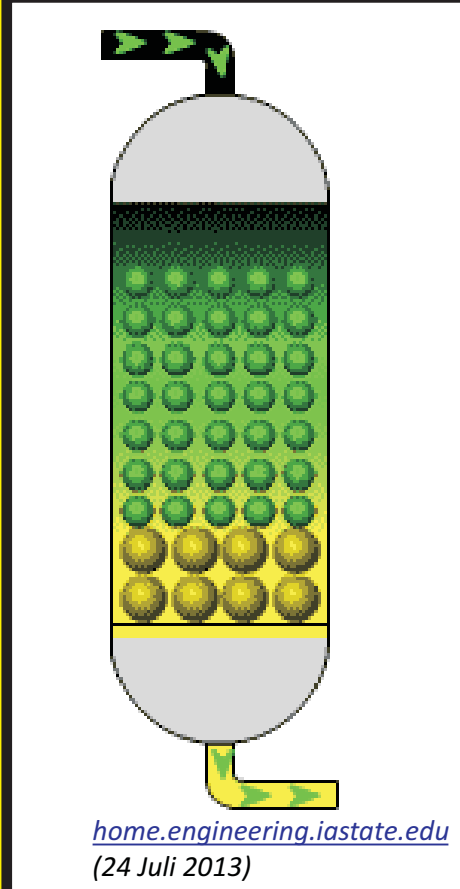
ABSTRAK

2+

In this research, it has been evaluated concentration effect of Cd²⁺ ion used as Cd²⁺ ionic imprinted on synthesis of Cd²⁺ ionic imprinted amino-silica hybrid (Cd(II)-IIP) adsorbent upon adsorption rate and capacity of target ion (Cd²⁺) in solution. The results of the ionic imprinting (as active sites of Cd²⁺ ion) obtained were prepared from different concentrations of Cd²⁺ ion producing different ionic imprinted cavity fraction. The concentrations of Cd²⁺ ion used as the ionic imprinting were 0.05, 0.10, and 0.15 mol L⁻¹ resulting the ionic imprinted cavity fraction for each 97.89 ± 0.20 (Cd(II)-IIPa), 98.49 ± 0.10 (Cd(II)-IIPb), and 95.82 ± 0.25 % (Cd(II)-IIPc), respectively. From the adsorption data obtained, they shows that initial concentration differences of imprinted Cd²⁺ ion produce different adsorption models of Cd²⁺ ion. The bigger the Cd²⁺ ionic imprinting fraction, the higher the adsorption rate (k_1) and capacity (q) of Cd²⁺ ion on adsorbent.

Keywords: imprinted ionic; adsorption; aminosilica hybrid; adsorption active site

PENDAHULUAN

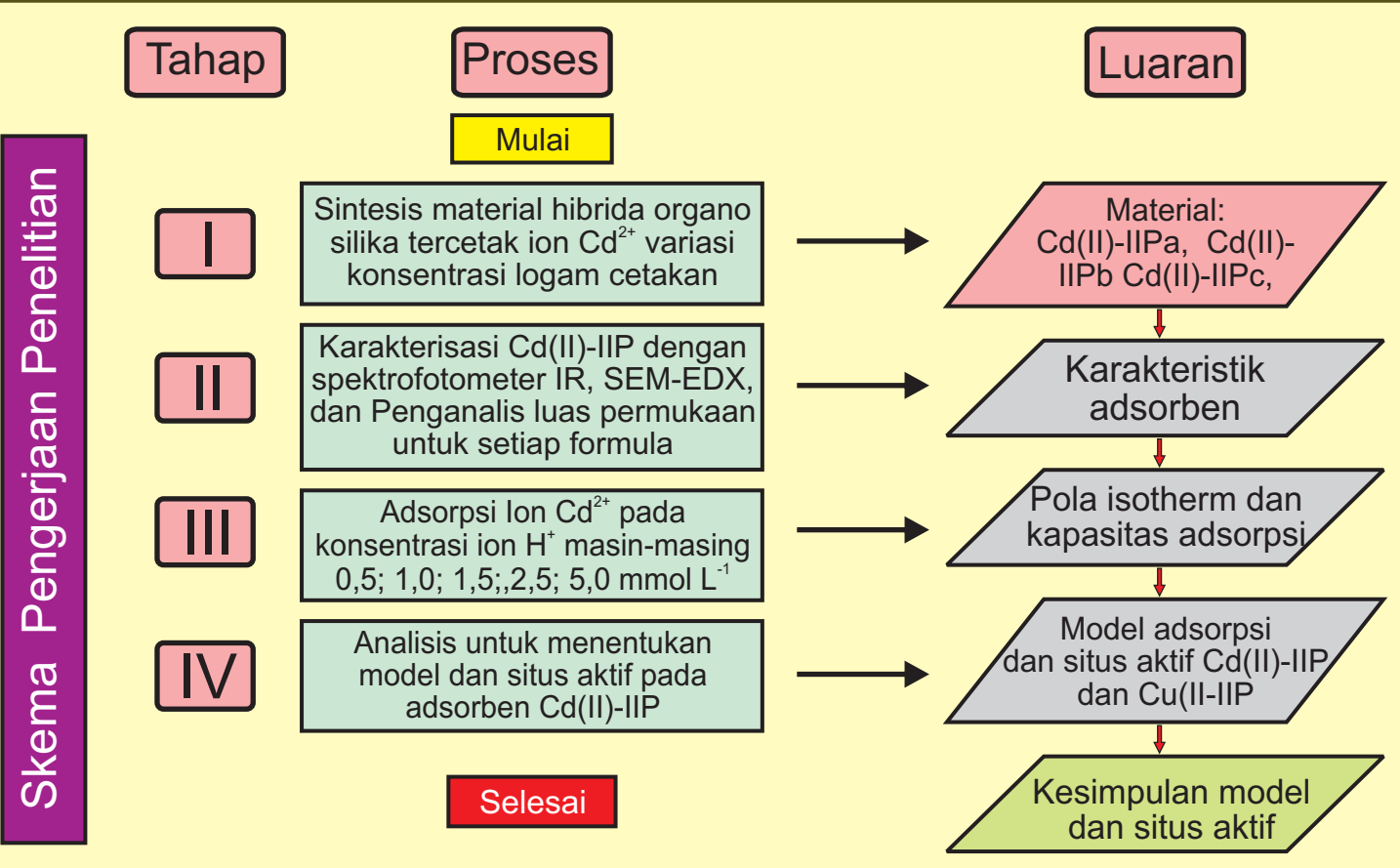


home.engineering.iastate.edu
(24 Juli 2013)

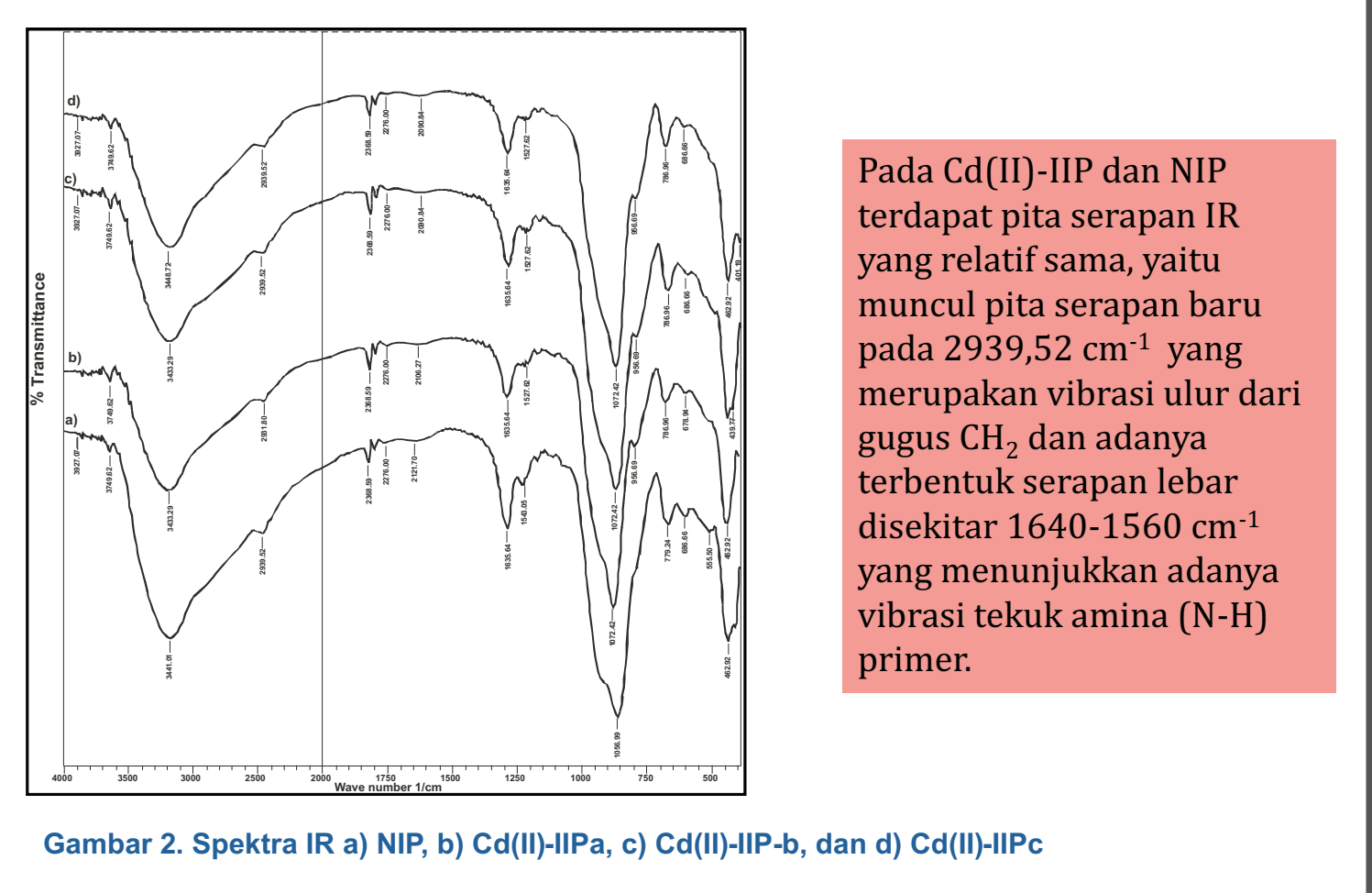
Ekstraksi fasa padat

Pemilihan material yang digunakan sebagai adsorben
Parameter selektivitas dan kapasitas adsorpsi terhadap logam

METODE PENELITIAN

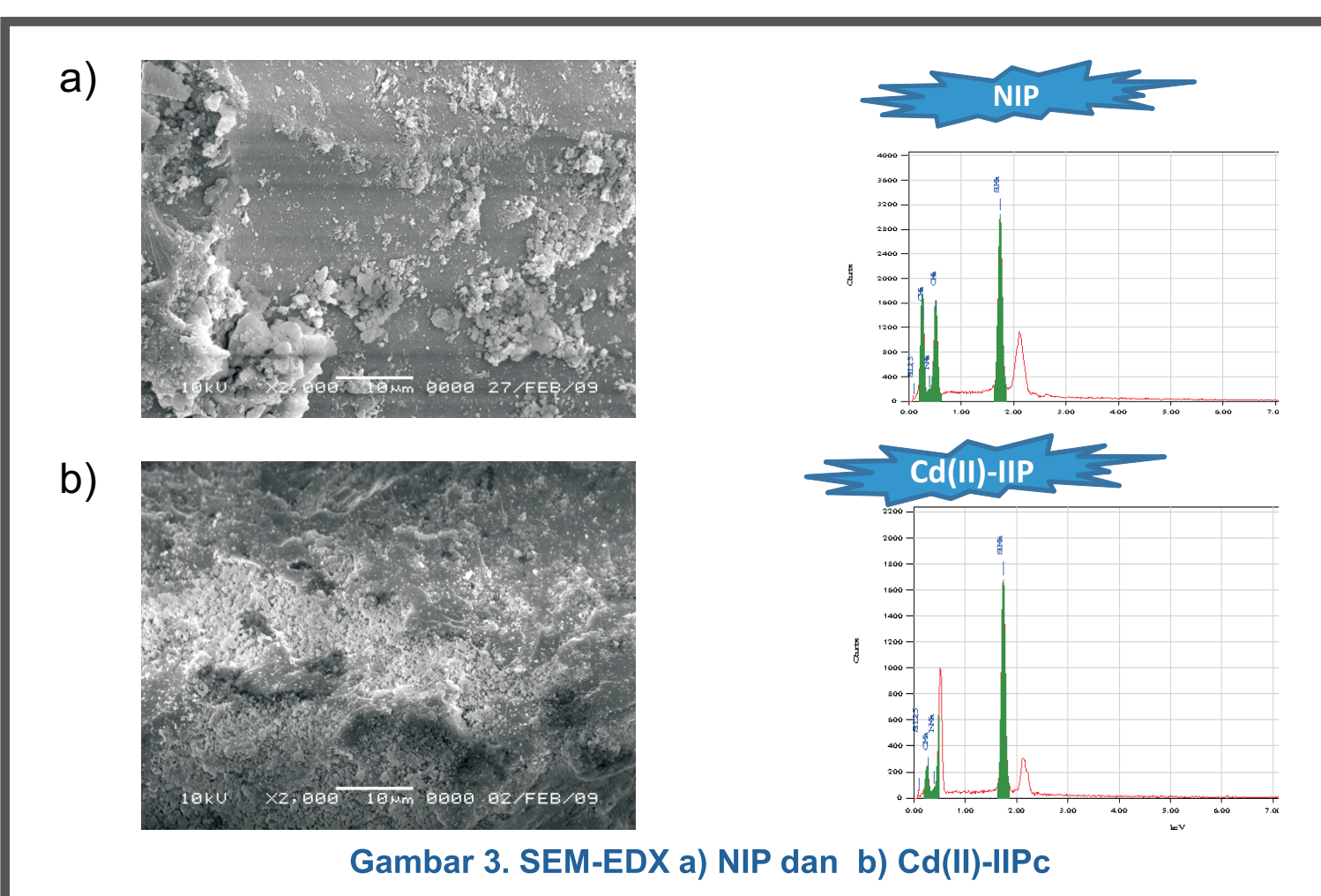


HASIL PENELITIAN

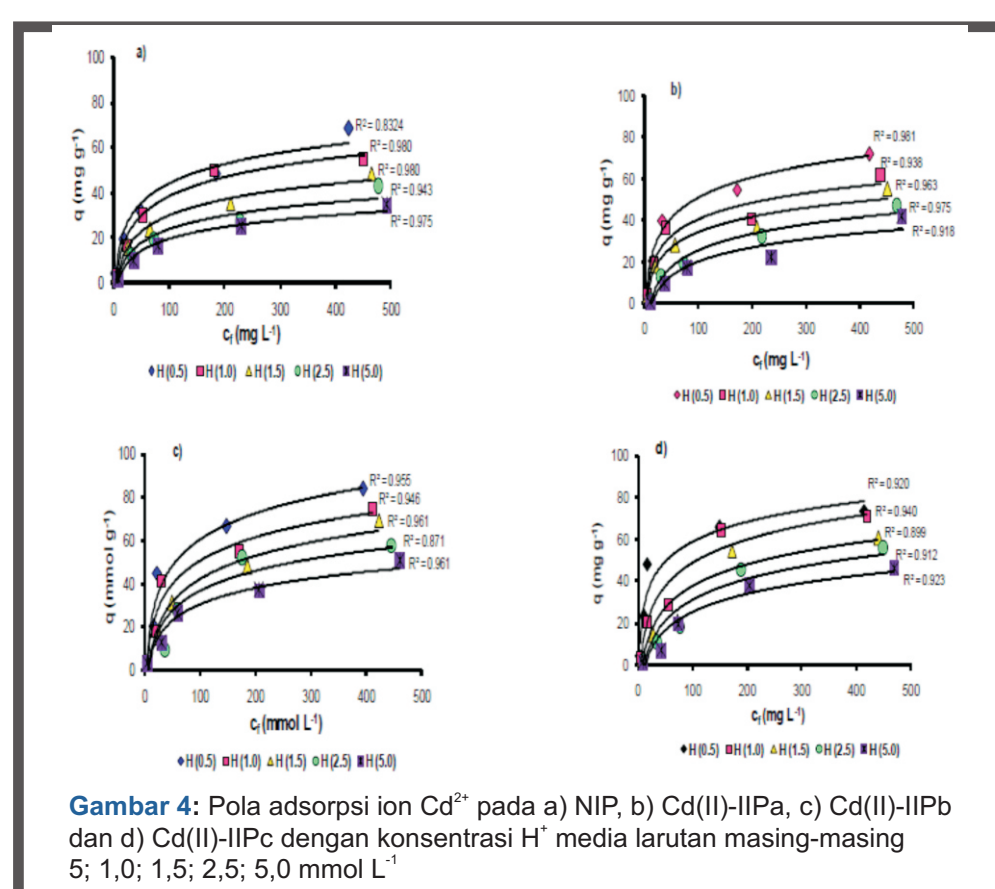


Gambar 2. Spektra IR a) NIP, b) Cd(II)-IIP, c) Cd(II)-IIP-b, dan d) Cd(II)-IIPc

Pada Cd(II)-IIP dan NIP terdapat pita serapan IR yang relatif sama, yaitu muncul pita serapan baru pada 2939,52 cm⁻¹ yang merupakan vibrasi ulur dari gugus CH₂ dan adanya terbentuk serapan lebar disekitar 1640-1560 cm⁻¹ yang menunjukkan adanya vibrasi tekuk amina (N-H) primer.

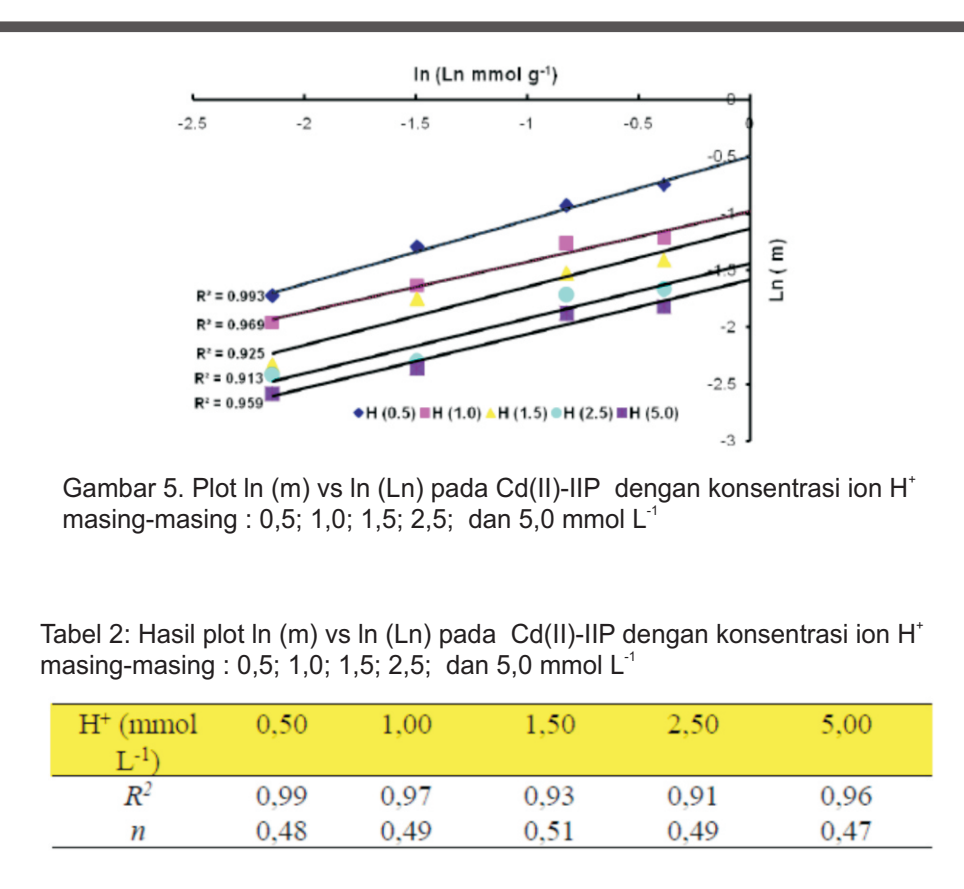


Gambar 3. SEM-EDX a) NIP dan b) Cd(II)-IIPc



Gambar 4: Pola adsorpsi ion Cd²⁺ pada a) NIP, b) Cd(II)-IIPa, c) Cd(II)-IIPb dan d) Cd(II)-IIPc dengan konsentrasi H⁺ media larutan masing-masing 5; 1,0; 1,5; 2,5; 5,0 mmol L⁻¹

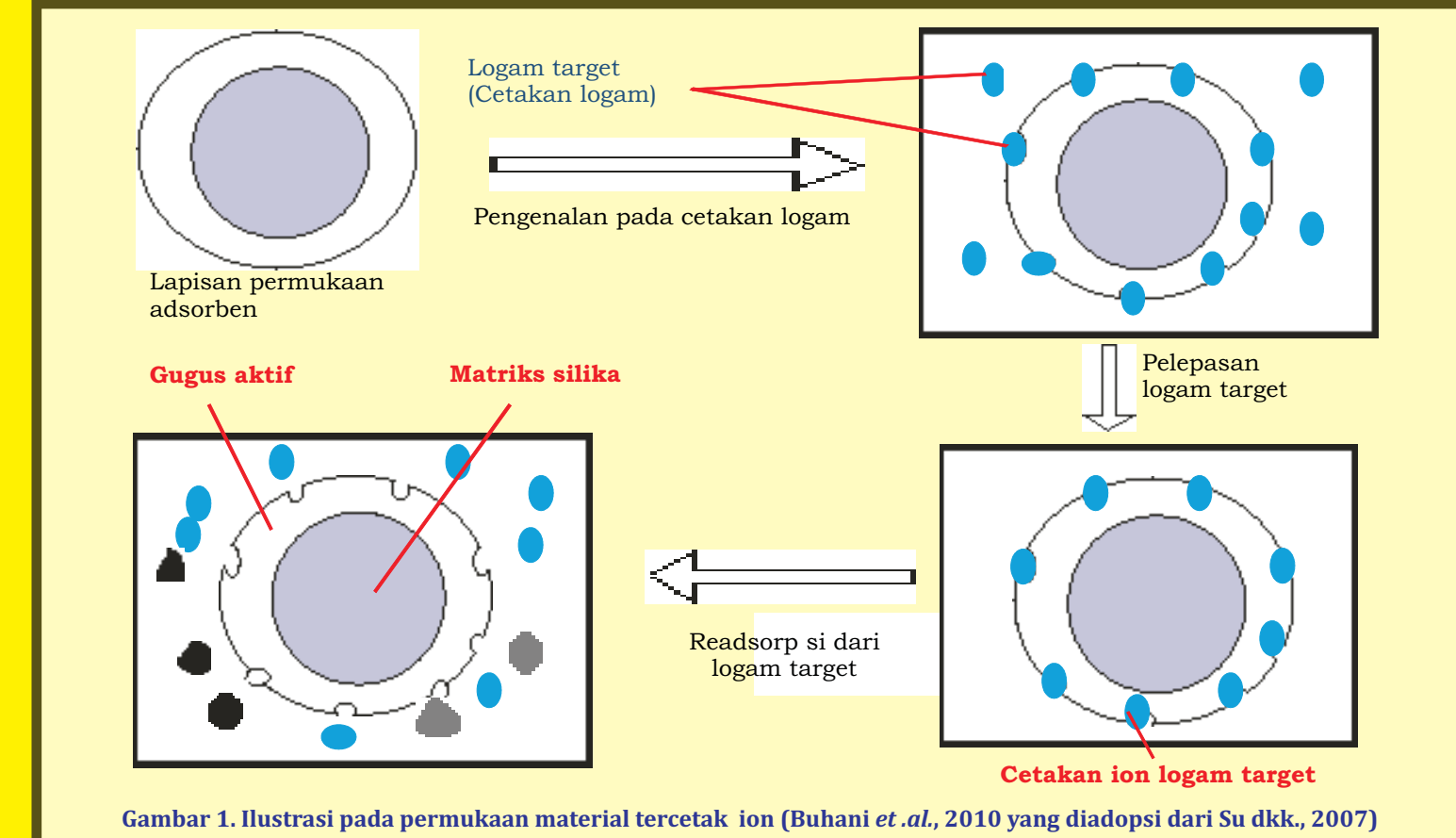
Model Isoterm Adsorpsi	Adsorben			
	NIP	Cd(II)-IIPa	Cd(II)-IIPb	Cd(II)-IIPc
Langmuir				
$K_L \text{ (mg g}^{-1}\text{)}$	28.823	54.304	62.105	43.402
$K_L \times 10^3 \text{ (L mol}^{-1}\text{)}$	8.644	13.076	15.863	14.754
R^2	0.990	0.990	0.991	0.990
RMSE	2.311	3.478	3.266	4.377
χ^2	1.683	3.427	2.412	7.327
Freundlich				
$K_F \text{ (mg g}^{-1}\text{)}$	3.270	6.445	7.138	6.831
n	2.263	2.072	1.955	2.527
R^2	0.950	0.874	0.935	0.794
RMSE	3.283	7.936	10.990	5.469
χ^2	2.944	10.778	11.765	10.724
Dubinin-Raduskevich				
$Q_{DR} \text{ (mg g}^{-1}\text{)}$	26.396	54.315	59.472	41.157
$B_{DR} \times 10^3 \text{ (mol kJ}^{-1}\text{)}$	2.104	1.815	1.659	1.495
R^2	0.976	0.953	0.992	0.827
RMSE	2.302	3.563	3.332	3.985
χ^2	1.466	3.183	1.281	7.559
Temkin				
$b_T \text{ (mol g}^{-1}\text{)}$	2.206	3.987	4.496	2.884
$a_T \text{ (L g}^{-1}\text{)}$	1.023	1.086	1.114	1.048
R^2	0.975	0.993	0.972	0.963
RMSE	1.691	1.822	4.058	3.232
χ^2	7.170	1.138	7.170	9.242



Gambar 5. Plot ln (m) vs ln (Ln) pada Cd(II)-IIP dengan konsentrasi ion H⁺ masing-masing : 0,5; 1,0; 1,5; 2,5; dan 5,0 mmol L⁻¹

$H^+ \text{ (mmol L}^{-1}\text{)}$	0,50	1,00	1,50	2,50	5,00
R^2	0.99	0.97	0.93	0.91	0.96
n	0.48	0.49	0.51	0.49	0.47
χ^2	7.170	1.138	7.170	9.242	

Teknik pencetakan ion (ionic imprinting)



Gambar 1. Ilustrasi pada permukaan material tercetak ion (Buhani et.al., 2010 yang diadaptasi dari Su dkk., 2007)

Sintesis material Cd(II)-IIP dengan fraksi rongga cetakan ion Cd(II) yang berbeda mempengaruhi kesetimbangan adsorpsi ion Cd(II) pada material tersebut. Perbedaan konsentrasi ion Cd(II) yang digunakan sebagai cetakan ion menghasilkan pola dan kapasitas adsorpsi yang berbeda.

REFERENSI

- Buhani, Herasari D., Suharso, Yuwono S.D., Oriental J. Chem., 2017, 33(1): 418-429.
 Buhani, Suharso, Sumadi, Asian J. Chem., 2012, 24(1):133-140.
 Buhani, Narsito, Nuryono, Kunarti, E.S., Suharso, Desalin. Water Treat., 2015, 55: 1240-1252.
 Su, H., Chen, S., Tan, T., Process Biochem., 2007, 42: 612-61

UCAPAN TERIMA KASIH

Terima kasih kepada DPRM Kemenristekdikti yang telah membiaya penelitian ini melalui Program Penelitian PDUPT dengan No. Kontrak : 071/SP2H/LT/DPRM/IV/2017